

УДК 519.633

## МАТЕМАТИЧЕСКОЕ МОДЕЛИРОВАНИЕ ТРОПИЧЕСКИХ ЦИКЛОНОВ НА ОСНОВЕ ОПИСАНИЯ ТРАЕКТОРИЙ ВЕТРА

© 2019 г. М. Аоуаоуда<sup>1,\*</sup>, А. Аяди<sup>1,\*\*</sup>, Х. Фуджита Яшима<sup>2,\*\*\*</sup>

<sup>1</sup> Université d'Oum El Bouaghi, Algérie;

<sup>2</sup> École Normale Supérieure de Constantine, Algérie)

\*e-mail: meryem.aouaouda@gmail.com

\*\*e-mail: facmath@yahoo.fr

\*\*\*e-mail: hisaofujitayashima@qq.com, hisaofujitayashima@yahoo.com

Поступила в редакцию 15.03.2019 г.

Переработанный вариант 16.04.2019 г.

Принята к публикации 15.05.2019 г.

Рассмотрена математическая модель развития тропического циклона, состоящая из системы уравнений, полученных преобразованием уравнения движения газа (воздуха) без учета вязкости и теплопроводности в форму уравнений вдоль траекторий ветра с осевой симметрией в цилиндрической области. Результат численного расчета решения показал рост скорости ветра в соответствии с конденсацией водяного пара и нагреванием воздуха, а также стабилизацию скорости в соответствии с аккумуляцией паров воды или льдинок в воздухе. При этом трение о воздух таких частиц воды замедляет восходящее движение воздуха. Библ. 15. Фиг. 9. Табл. 2.

**Ключевые слова:** тропический циклон, траектории ветра, уравнения движения воздуха, конденсация водяного пара, метод конечных разностей.

**DOI:** 10.1134/S0044466919090047

### 1. ВВЕДЕНИЕ

Математическое моделирование тропических циклонов давно интересует многих исследователей. В этой связи укажем нескольких авторов, предложивших различные модели этого явления (см., например, [1]–[9]). Напомним, что, как объясняется в обширной литературе (в том числе в процитированных выше работах), рост и поддержание тропического циклона обусловлены, прежде всего, восходящим движением воздуха, вызванным выделением скрытой теплоты конденсации водяного пара. Этот механизм циклона сопровождается действием силы Кориолиса, которая порождает круговое движение воздуха, а также сопровождается трением капель воды (или кусочков льдинок) о воздух, которое замедляет восходящее движение воздуха.

Целью данной работы является выявление этого механизма путем численного моделирования на основе фундаментальных уравнений механики газа (см. [10]) без учета вязкости и теплопроводности. Для этого рассматриваются уравнения в цилиндрической области с осевой симметрией (см. ниже (3)–(7)). Поскольку исследуемая модель сводится к решению системы уравнений в частных производных первого порядка, то она преобразуется в семейство уравнений на траекториях (характеристиках), что позволяет эффективно вычислять искомое решение. Идея этого моделирования частично изложена в [11].

Для численного решения выбранной модели использована разностная схема, которая частично базируется на методах, разработанных в [12] и [13]. Однако в этих работах расчет производился только для вертикального потока воздуха. В настоящей работе разработан алгоритм вычисления радиальной и тангенциальной составляющих скорости.

В рамках принятых приближений (инвариантный радиус циклона, фиксированные траектории ветра, отсутствие вязкости и теплопроводности), результат моделирования данной работы явно показывает главные аспекты эволюции тропического циклона из-за конденсации водяного пара, создающей восходящее движение воздуха, и его стабилизации из-за трения капель о воздух.

## 2. ПРИНЦИПЫ МОДЕЛИРОВАНИЯ И ПРЕОБРАЗОВАНИЕ УРАВНЕНИЙ

Рассмотрим движение воздуха внутри тропического циклона, принимая во внимание осевую симметрию течения в фиксированной цилиндрической области. Точнее говоря, рассмотрим течение в области

$$\Omega = \{(r, \vartheta, z) \in \mathbb{R}_+ \times [0, 2\pi \times \mathbb{R} \mid (r, z) \in \Gamma_{r,z}, 0 \leq \vartheta < 2\pi\}, \quad (1)$$

$$\Gamma_{r,z} = \{(r, z) \in \mathbb{R}_+ \times \mathbb{R} \mid 0 < z < \bar{z}_1, \Lambda_0(z) < r < \Lambda_1\}. \quad (2)$$

Здесь  $(r, \vartheta, z)$  – цилиндрические координаты, а ось  $z$  совпадает с осью кругового движения воздуха. Область  $\{0 < z < \bar{z}_1, 0 \leq r < \Lambda_0(z)\}$  будет соответствовать зоне “глаза”. Поскольку в “глазе” движение воздуха имеет несколько иные аспекты, чем в остальной части тропического циклона, то в настоящей работе мы исключаем его из нашего рассмотрения.

Если предположить, что все входящие в уравнения функции не зависят от  $\vartheta$  и пренебречь вязкостью и теплопроводностью, то уравнения движения газа (воздуха) (см. [10]) в координатах  $(r, z)$ , примут следующий вид:

$$\frac{\partial \varrho}{\partial t} + \frac{1}{r} \frac{\partial(r\varrho v_r)}{\partial r} + \frac{\partial(\varrho v_z)}{\partial z} = -H_{ir}, \quad (3)$$

$$\varrho \left( \frac{\partial v_r}{\partial t} + v_r \frac{\partial v_r}{\partial r} - \frac{1}{r} v_\vartheta^2 + v_z \frac{\partial v_r}{\partial z} \right) = -R_1 \frac{\partial(\varrho T)}{\partial r} + f_0 \varrho v_\vartheta - \varepsilon_1(z) v_r, \quad (4)$$

$$\varrho \left( \frac{\partial v_\vartheta}{\partial t} + v_r \frac{\partial v_\vartheta}{\partial r} + \frac{1}{r} v_\vartheta v_r + v_z \frac{\partial v_\vartheta}{\partial z} \right) = -f_0 \varrho v_r - \varepsilon_1(z) v_\vartheta, \quad (5)$$

$$\varrho \left( \frac{\partial v_z}{\partial t} + v_r \frac{\partial v_z}{\partial r} + v_z \frac{\partial v_z}{\partial z} \right) = -R_1 \frac{\partial(\varrho T)}{\partial z} - [\Sigma + \varrho] g, \quad (6)$$

$$\varrho c_v \left( \frac{\partial T}{\partial t} + v_r \frac{\partial T}{\partial r} + v_z \frac{\partial T}{\partial z} \right) = -R_1 \varrho T \left( \frac{\partial v_r}{\partial r} + \frac{1}{r} v_r + \frac{\partial v_z}{\partial z} \right) + L_{ir} H_{ir}. \quad (7)$$

Здесь  $\varrho$ ,  $T$ ,  $v_r$ ,  $v_\vartheta$  и  $v_z$  – соответственно плотность, температура, радиальная, тангенциальная и вертикальная составляющая скорости, а давление представлено как  $R_1 \varrho T$  ( $R_1$  – постоянная). Кроме того,  $c_v$  – удельная теплоемкость воздуха, а  $f_0 = 2|\omega| \sin \varphi_0$  – коэффициент силы Кориолиса, определяемый угловой скоростью  $\omega$  вращения Земли и географической широтой центра циклона  $\varphi_0$ . Для силы Кориолиса в выбранной системе уравнений используем приближение, пренебрегающее его вертикальной составляющей и членами, связанными с вертикальной составляющей скорости. С другой стороны, эффект трения между воздухом и поверхностью моря представлен в виде  $-\varepsilon_1(x_3)(v - (v \cdot e_3)e_3)$ , где  $\varepsilon_1(x_3)$  является функцией, которая строго положительна в окрестности  $x_3 = 0$  и обращается в ноль при достаточно больших  $x_3$ . При этом  $H_{ir}$  – масса водяного пара, переходящего в жидкое или твердое фазовое состояние в восходящем потоке воздуха,  $\Sigma$  – количество воды в жидком или твердом фазовом состоянии (в воздухе),  $L_{ir}$  – скрытая теплота перехода воды из газообразного в жидкое или твердое состояние.

Отметим, что поскольку

$$\frac{1}{r} \frac{\partial(r\varrho v_r)}{\partial r} + \frac{\partial(\varrho v_z)}{\partial z} = \frac{\varrho v_r}{r} + v_r \frac{\partial \varrho}{\partial r} + v_z \frac{\partial \varrho}{\partial z} + \varrho \left( \frac{\partial v_r}{\partial r} + \frac{\partial v_z}{\partial z} \right),$$

то в каждом из уравнений (3)–(7) присутствует дифференциальный оператор переноса

$$v_r \frac{\partial}{\partial r} + v_z \frac{\partial}{\partial z}.$$

Этот оператор определяет траектории ветра на плоскости  $(r, z)$ , которые могут быть рассчитаны. Для того, чтобы подчеркнуть влияние процесса конденсации, нагревания воздуха и его восходящего движения, определяющего эволюцию тропического циклона, предположим, что определенные таким образом траектории на плоскости  $(r, z)$  являются гладкими и относительно устойчивыми. Выбирая соответствующим образом траектории на плоскости  $(r, z)$  (в следующем разделе изложим наш выбор траекторий), преобразуем систему (3)–(7) в одно семейство уравнений на траекториях.

Предполагая, что  $v_r^2 + v_z^2 > 0$ , положим

$$q_r = \frac{v_r}{\sqrt{v_r^2 + v_z^2}}, \quad q_z = \frac{v_z}{\sqrt{v_r^2 + v_z^2}}. \quad (8)$$

Введем семейство функций  $\gamma(s) = (\gamma_r(s), \gamma_z(s))$ , определяемых соотношениями

$$\frac{d}{ds} \gamma_r(s) = q_r(\gamma(s)), \quad \frac{d}{ds} \gamma_z(s) = q_z(\gamma(s)). \quad (9)$$

Ясно, что в предположении регулярности  $(q_r(r, z), q_z(r, z))$  семейство функций  $\gamma$ , которые проходят через каждую точку  $(r, z)$  из  $\Gamma_{r,z}$  и удовлетворяют уравнениям (9), целиком заполнит область  $\Gamma_{r,z}$ .

Предположим, что семейство функций  $\{\gamma\}$  определено и не зависит от  $t$ . Затем, используя соотношение

$$v_r \frac{\partial}{\partial r} \varphi(t, r, z) + v_z \frac{\partial}{\partial z} \varphi(t, r, z) = v_\gamma \frac{\partial}{\partial s} \varphi(t, \gamma(s)) \equiv v_\gamma \frac{\partial}{\partial s} \varphi(t, s)$$

с  $v_\gamma = \sqrt{v_r^2 + v_z^2}$ , уравнения (3) и (5) преобразуются к виду

$$\frac{\partial \varrho}{\partial t} + \frac{\partial(\varrho v_\gamma)}{\partial s} + \frac{\varrho v_r}{r} + \varrho v_\gamma \left( \frac{\partial q_r}{\partial r} + \frac{\partial q_z}{\partial z} \right) = -H_{rr}, \quad (10)$$

$$\frac{\partial v_\vartheta}{\partial t} + v_\gamma \frac{\partial v_\vartheta}{\partial s} + \frac{q_r v_\gamma v_\vartheta}{r} = -f_0 q_r v_\gamma - \frac{\varepsilon_1(z) v_\vartheta}{\varrho}, \quad (11)$$

а используя равенство  $\varrho \left( \frac{\partial v_r}{\partial r} + \frac{1}{r} v_r + \frac{\partial v_z}{\partial z} \right) = -H_{rr} - \frac{\partial \varrho}{\partial t} - v_\gamma \frac{\partial \varrho}{\partial s}$ , которое эквивалентно (3), уравнение (7) преобразуется к виду

$$\varrho v_\gamma \left( \frac{\partial T}{\partial t} + v_\gamma \frac{\partial T}{\partial s} \right) - R_1 T \left( \frac{\partial \varrho}{\partial t} + v_\gamma \frac{\partial \varrho}{\partial s} \right) = (R_1 T + L_{rr}) H_{rr}. \quad (12)$$

С другой стороны, умножив уравнение (4) на  $q_r$  и уравнение (6) на  $q_z$  и используя равенство

$$\frac{\partial q_r^2}{\partial s} + \frac{\partial q_z^2}{\partial s} = 0,$$

получим

$$\varrho \left( \frac{\partial v_\gamma}{\partial s} + v_\gamma \frac{\partial v_\gamma}{\partial s} - \frac{q_r}{r} v_\gamma^2 \right) = -R_1 \frac{\partial(\varrho T)}{\partial s} + q_r \varrho f_0 v_\vartheta - [\varepsilon_1(z) q_r^2 v_\gamma - q_z g(\varrho + \Sigma)]. \quad (13)$$

Для численного разрешения рассмотрим приближенную задачу для этой системы уравнений, полученную путем разделения между временной эволюцией и пространственной структурой для  $v_\gamma, \varrho, T$  (как это было сделано в [12], [13]). Точнее говоря, положим

$$v_\gamma(t, s) = \alpha_\gamma(t) w(t, s) \quad (14)$$

на каждой траектории  $\gamma$  (поэтому  $w(t, s) = w(\gamma; t, s)$ ) и предположим

$$\frac{\partial w}{\partial t} \approx 0, \quad \frac{\partial \varrho}{\partial t} \approx 0, \quad \frac{\partial T}{\partial t} \approx 0. \quad (15)$$

С другой стороны, рассмотрим  $v_\vartheta(t, s) = v_\vartheta(\gamma; t, s)$  на каждом  $\gamma$  как функцию от  $(t, s)$ , т.е. для  $v_\vartheta(t, s)$  не используем разделение между временной эволюцией и пространственной структурой. Действительно, ее эволюция не определяется как прямое следствие процесса конденсации пара и восходящего потока воздуха.

Для того, чтобы преобразовать уравнения (10)–(13) в приближенную задачу, используя введенное в (14)–(15) разделение между временной эволюцией и пространственной структурой, положим

$$D(t) = D_\gamma(t) = \frac{d}{dt} \alpha_\gamma(t), \quad (16)$$

$$J(s) = J(\gamma; s) = \int_0^s \left( \frac{\partial q_r(r, z)}{\partial r} + \frac{\partial q_z(r, z)}{\partial z} \right) \Big|_{(r, z) = \gamma(s')} ds'. \quad (17)$$

Наконец, примем следующее выражение  $H_r$ :

$$H_r = h_r [v_z]^+ = h_r [\alpha(t) q_z w]^+, \quad h_r = \bar{\pi}_{v_s}(T) \frac{d}{dz} \log \varrho - \frac{d}{dz} \bar{\pi}_{v_s}(T), \quad (18)$$

где  $([\cdot]^+)$  обозначает положительную часть), обоснование которого найдено, например, в [12]. Таким образом, предположив, что  $\varrho > 0$ ,  $w > 0$ ,  $q_z \geq 0$ , и написав  $\frac{dw}{ds}$ ,  $\frac{d\varrho}{ds}$ ,  $\frac{dT}{ds}$  вместо  $\frac{\partial w}{\partial s}$ ,  $\frac{\partial \varrho}{\partial s}$ ,  $\frac{\partial T}{\partial s}$ , на каждой траектории  $\gamma$  вместо (10)–(13) рассмотрим систему уравнений

$$\frac{d}{ds}(\varrho w) = -q_z w \left( \frac{\bar{\pi}_{v_s}(T) d\varrho}{\varrho dz} - \frac{d\bar{\pi}_{v_s}(T) dT}{dT dz} \right) - \frac{\varrho w d(rJ)}{rJ ds}, \quad (19)$$

$$\frac{1}{\alpha(t)w} \frac{\partial v_\vartheta}{\partial t} + \frac{\partial v_\vartheta}{\partial s} + \frac{q_r}{r} v_\vartheta = -f_0 q_r - \frac{\varepsilon_1(z)}{\alpha(t)\varrho w} v_\vartheta, \quad (20)$$

$$\varrho c_v \frac{dT}{ds} - R_1 T \frac{d\varrho}{ds} = (R_1 T + L_r) q_z \left( \frac{\bar{\pi}_{v_s}(T) d\varrho}{\varrho dz} - \frac{d\bar{\pi}_{v_s}(T) dT}{dT dz} \right), \quad (21)$$

$$\varrho w D(t) + \varrho \left( (\alpha(t))^2 w \frac{dw}{ds} - \frac{q_r}{r} v_\vartheta^2 \right) = -R_1 \frac{d}{ds}(\varrho T) + q_r \varrho f_0 v_\vartheta - [\varepsilon_1(z) \alpha q_r^2 w + q_z g(\varrho + \Sigma)]. \quad (22)$$

Поскольку траектории перемещения жидкой или твердой воды отличаются от траекторий потока воздуха  $\gamma$ , то дадим практическое определение для вычисления массы жидкой или твердой воды на каждой траектории воздуха в разд. 4 после определения нашего выбора траекторий движения воздуха. В разд. 4 будет объяснена роль члена  $D(t)$  в уравнении (22), а также граничные условия для втекания и вытекания воздуха в уравнениях (19)–(22).

### 3. ВЫБОР ТРАЕКТОРИЙ

Как было показано выше, если зафиксировать траектории  $\gamma$ , то можно свести систему уравнений (3)–(7) для неизвестных  $\varrho$ ,  $T$ ,  $v_r$ ,  $v_\vartheta$  и  $v_z$  к системе четырех уравнений для четырех неизвестных  $\varrho$ ,  $T$ ,  $v_\gamma$  и  $v_\vartheta$ , что позволяет эффективно выполнить необходимый расчет. Но траектории являются неизвестными, то для получения устойчивого результата моделирования тропического циклона его траектории также должны быть хорошими приближениями реальных траекторий. В этой связи напомним, что в литературе, описывающей физику тропических циклонов, принято считать, что в нижней части циклона воздух движется к центру, в области вблизи центра тайфуна он движется вверх, а в его верхней части воздух перемещается к периферии. Поэтому мы также примем эту общую схему потока воздуха.

Для того, чтобы выбор траекторий не приводил к искусственному результату, необходимо аккуратное решение вопроса о выборе траекторий. В частности, их важно выбрать так, чтобы семейство этих траекторий не нарушало закон сохранения массы. Иными словами, если  $\bar{\varrho}$  представляет собой такую не зависимую от  $t$  функцию, что плотность  $\varrho$  должна быть близкой к  $\bar{\varrho}$ , а траектории определяются полем скорости  $\bar{v}$  (мы будем называть  $\bar{\varrho}$  основной плотностью, а  $\bar{v}$  основным полем скорости), то величина  $\nabla \cdot (\bar{\varrho} \bar{v})$  должна оставаться достаточно маленькой. Даже если плотность  $\varrho$  неизвестна, то можно определить основную плотность  $\bar{\varrho}$  по гидростатическому принципу, а основное поле скорости  $\bar{v}$  можно взять в соответствии с соотношением  $\nabla \cdot (\bar{\varrho} \bar{v}) \approx 0$ , что согласуется со многими наблюдениями, сделанными на тропических циклонах.

При реализации численного алгоритма мы выбираем определенное число  $N$  траекторий и обозначаем их через  $\gamma_j$ ,  $j = 1, \dots, N$ . Теперь полагаем, согласно принятой схеме, что каждая траектория  $\gamma_j$  состоит из трех компонент: нижней части  $\gamma_j^{[1]}$ , где воздух движется почти горизонтально к центру, восходящей части  $\gamma_j^{[2]}$ , и верхней части  $\gamma_j^{[3]}$ , где воздух движется почти горизонтально к периферии. В настоящей работе для основной скорости  $\bar{v}$  в  $\gamma_j^{[1]}$  и  $\gamma_j^{[3]}$  примем приближение го-

горизонтального потока, так что функция  $w$  будет иметь поведение  $rw(r) \approx a_{j,1}$  на  $\gamma_j^{11}$  и  $rw(r) \approx a_{j,3}$  на  $\gamma_j^{31}$  ( $a_{j,1}$  и  $a_{j,3}$  являются постоянными). Таким образом, потоки на компонентах  $\gamma_j^{11}$  и  $\gamma_j^{31}$  будут параллельны оси  $r$  на плоскости  $(r, z)$ .

Далее положим

$$\begin{aligned} \gamma_j &= \gamma_j^{11} \cup \gamma_j^{21} \cup \gamma_j^{31}, \\ \gamma_j^{11} &= \{(r, z) \in \Gamma_{r,z} \mid r_j(z_j^-) \leq r \leq \Lambda_1, z = z_j^-\}, \\ \gamma_j^{21} &= \{(r, z) \in \Gamma_{r,z} \mid r = r_j(z), z_j^- \leq z \leq z_j^+\}, \\ \gamma_j^{31} &= \{(r, z) \in \Gamma_{r,z} \mid r_j(z_j^+) \leq r \leq \Lambda_1, z = z_j^+\}. \end{aligned} \quad (23)$$

Из этой структуры траектории видно, что  $\gamma_j$  имеет угол в точке  $(r_j(z_j^-), z_j^-)$ , соединяющей части  $\gamma_j^{11}$  и  $\gamma_j^{21}$ , а также в точке  $(r_j(z_j^+), z_j^+)$ , соединяющей части  $\gamma_j^{21}$  и  $\gamma_j^{31}$ . Наличие таких углов на траектории не является естественным. Однако в настоящей модели мы полагаем что такие углы не оказывают принципиального влияния на интегральный результат расчетов.

Для того, чтобы выбрать функции  $r_j(z)$ , которые появляются в определении  $\gamma_j^{21}$ , используем в качестве основной плотности  $\bar{\rho}$  гидростатическое распределение плотности влажного воздуха, и примем эмпирический критерий отношения между максимальным значением вертикальной составляющей  $\bar{v}_z$  и максимальным значением радиальной составляющей  $\bar{v}_r$  основной скорости  $\bar{v}$ . Примем также предположение, в соответствии с которым на величину  $rw(r, z)|_{(r,z) \in \gamma_j^{21}}$  не влияет  $r$ .

Это предположение аналогично критерию, принятому выше для частей  $\gamma_j^{11}$  и  $\gamma_j^{31}$  траекторий.

Далее, чтобы определить использованную здесь основную плотность  $\bar{\rho}$ , рассмотрим систему уравнений гидростатического распределения воздуха, который может быть влажным:

$$\rho c_v \frac{dT}{dz} - R_1 T \frac{d\rho}{dz} = \vartheta(z)(R_1 T + L_r)(\bar{\pi}_{vs}(T) \frac{d}{dz} \log \rho - \frac{d}{dz} \bar{\pi}_{vs}(T)), \quad (24)$$

$$R_1 \frac{d}{dz}(\rho T) = -g\rho, \quad (25)$$

где  $0 \leq \vartheta(z) \leq 1$  (для существования и единственности решения этой системы уравнений, см. [13]). Случай  $\vartheta(z) = 0$  соответствует состоянию полностью сухого воздуха, а случай  $\vartheta(z) = 1$  — случаю насыщенного влажного воздуха. Во втором из этих случаев температура распределена так, что происходит постоянная конденсация влаги. Выберем в качестве  $\bar{\rho}$  решение этой системы уравнений с  $\vartheta(z) = 1$ .

Что касается отношения максимального значения вертикальной составляющей скорости ветра к максимальному значению ее радиальной составляющей, то в моделях разных авторов эта величина различна. В нашей модели, следуя основным ее положениям [7], примем критерий

$$\frac{\text{максимальное значение } v_z \text{ на } \gamma_j^{21}}{\text{максимальное значение } |v_r| \text{ на } \gamma_j^{11}} \approx \frac{1}{3}. \quad (26)$$

Начнем выбор траекторий с определения функции  $\Lambda_0(z)$ , которая представляет собой внешнюю границу “глаза” (см. (2)). Положим

$$\Lambda_0(z) = \Lambda_0(0) \sqrt{\frac{\bar{\rho}(0)}{\bar{\rho}(z)}}. \quad (27)$$

Действительно, если в области “глаза”  $\{0 < z < \bar{z}_1, 0 \leq r < \Lambda_0(z)\}$  с  $\Lambda_0(z)$ , определенной (27), воздух движется со скоростью  $\bar{v}_0$ , имеющей не зависящую от  $z$  вертикальную составляющую, то справедливо  $\nabla \cdot (\bar{\rho} \bar{v}_0) = 0$ . Это означает, что выбор  $\Lambda_0(z)$  не будет влиять на возможное движение воздуха в “глазе” тайфуна.

Для того, чтобы определить  $\gamma_j^{21}$  в соответствии с принятыми критериями, предположим

$$rw(r, z)|_{(r,z) \in \gamma_j^{21}} = a_{j,2} Q, \quad (28)$$

где  $a_{j,2}$  – постоянная, а

$$Q = \frac{1}{\sqrt{9q_z^2 + q_r^2}} = \frac{1}{\sqrt{1 + 8q_z^2}} = \frac{1}{\sqrt{9 - 8q_r^2}}. \tag{29}$$

Поскольку  $Q$  является зависимой только от  $\frac{q_r}{q_z}$  функцией, согласно предположению (28)

величина  $rw(r, z)|_{(r,z) \in \gamma_j^{[2]}}$  определяется отношением  $\frac{q_r}{q_z}$ . С другой стороны, если  $(q_r, q_z) = (0, 1)$ , то

$Q = \frac{1}{3}$ , а если  $(q_r, q_z) = (1, 0)$ , то  $Q = 1$ , в соответствии с критерием (26).

Так как согласно предположению (15) выполнено  $\frac{\partial \varrho}{\partial t} \approx 0$ , а  $H_r$  относительно небольшое, то заменяя  $v_r = \alpha_{\gamma_j} q_r w$  и  $v_z = \alpha_{\gamma_j} q_z w$  в (3) и считая  $\alpha_{\gamma_j}$  не зависимым от  $r$  и  $z$  в области, представленной траекториями  $\gamma_j$ , получаем

$$\frac{\partial(rw\varrho q_r)}{\partial r} + \frac{\partial(rw\varrho q_z)}{\partial z} \approx 0. \tag{30}$$

Далее, заменяя  $rw = a_{j,2}Q$  и  $\varrho = \bar{\varrho}(z)$  в (30), получаем

$$\frac{\partial(Q\bar{\varrho}(z)q_r)}{\partial r} + \frac{\partial(Q\bar{\varrho}(z)q_z)}{\partial z} = 0.$$

Так как  $\frac{\partial}{\partial r} \bar{\varrho}(z) = 0$ , из этого равенства следует

$$-(q_z Q) \frac{d}{dz} \bar{\varrho}(z) = \bar{\varrho} \left( \frac{\partial(Qq_r)}{\partial r} + \frac{\partial(Qq_z)}{\partial z} \right). \tag{31}$$

Перепишем (31) в виде

$$-(q_z Q) \frac{1}{\varrho} \frac{d}{dz} \bar{\varrho} = q_r \frac{\partial Q}{\partial r} + q_z \frac{\partial Q}{\partial z} + Q \left( \frac{\partial q_r}{\partial r} + \frac{\partial q_z}{\partial z} \right). \tag{32}$$

Далее, из выражения (29) следует

$$\frac{\partial Q}{\partial r} = \frac{\partial}{\partial r} \frac{1}{\sqrt{9 - 8q_r^2}} = \frac{8q_r}{(9 - 8q_r^2)^{3/2}} \frac{\partial q_r}{\partial r} = 8q_r Q^3 \frac{\partial q_r}{\partial r}, \tag{33}$$

$$\frac{\partial Q}{\partial z} = \frac{\partial}{\partial z} \frac{1}{\sqrt{1 + 8q_z^2}} = \frac{-8q_z}{(1 + 8q_z^2)^{3/2}} \frac{\partial q_z}{\partial z} = -8q_z Q^3 \frac{\partial q_z}{\partial z}. \tag{34}$$

Теперь заменим (33) и (34) в (32) и используем равенства

$$1 + 8q_r^2 Q^2 = \frac{9}{9 - 8q_r^2} = 9Q^2, \quad 1 - 8q_z^2 Q^2 = \frac{1}{1 + 8q_z^2} = Q^2,$$

которые следуют из (29); в итоге получим

$$\frac{\partial q_r}{\partial r} = \frac{1}{9Q^2} \left( -Q^2 \frac{\partial q_z}{\partial z} - q_z \frac{1}{\varrho} \frac{d}{dz} \bar{\varrho} \right). \tag{35}$$

Теперь построим  $\gamma_j^{[2]}$ ,  $j = 1, \dots, N$ , последовательно определяя  $r_j$  друг за другом (полагаем  $r_0(z) = \Lambda_0(z)$ ). Для этого используем аппроксимацию

$$\frac{d}{dz} (r_j(z) - r_{j-1}(z)) = (r_j(z) - r_{j-1}(z)) \frac{1}{q_z} \frac{\partial q_r}{\partial r} + o(|r_j(z) - r_{j-1}(z)|). \tag{36}$$

Если заменить  $\frac{\partial q_r}{\partial r}$  выражением правой части (35) и пренебречь слагаемым  $o(|r_j(z) - r_{j-1}(z)|)$ , то получим

$$\frac{dr_j(z)}{dz} + \frac{1}{9q_z Q^2} \left( Q^2 \frac{\partial q_z}{\partial z} + q_z \frac{1}{\rho} \frac{d}{dz} \bar{\rho} \right) r_j(z) = \frac{1}{9q_z Q^2} \left( Q^2 \frac{\partial q_z}{\partial z} + q_z \frac{1}{\rho} \frac{d}{dz} \bar{\rho} \right) r_{j-1}(z). \quad (37)$$

Если положить  $q_z$  и  $\frac{\partial q_z}{\partial z}$  в (37) равными их значениями на  $\gamma_{j-1}^{[2]}$ , то (37) будет линейным дифференциальным уравнением для неизвестной функции  $r_j(z)$ . Таким образом, решив уравнение (37), получим  $r_j(z)$  (и  $\gamma_j^{[2]}$ ),  $j = 1, \dots, N$ , которые удовлетворяют принятым в модели критериям.

#### 4. ДРУГИЕ УСЛОВИЯ И ОПРЕДЕЛЕНИЯ ДЛЯ ВЫЧИСЛИТЕЛЬНОГО МОДЕЛИРОВАНИЯ

Построив траектории  $\gamma_j = \{\gamma_j(s) | 0 \leq s \leq \bar{s}_j^{-1}\}$ ,  $j = 1, \dots, N$ , мы теперь можем задать граничные условия для неизвестных функций  $\rho$ ,  $v_\vartheta$ ,  $T$ ,  $w$  в точке входа  $\gamma_j(0) = (\Lambda, z_j^-)$  каждой траектории  $\gamma_j$ . Кроме того, наличие неизвестной величины  $D(t)$  в уравнении (22) позволяет задать одно условие в точке выхода  $\gamma_j(\bar{s}_j^{-1}) = (\Lambda, z_j^+)$  каждой траектории. Значит, мы задаем четыре условия входа

$$\rho(\gamma_j; t, 0) = \bar{\rho}_j^0, \quad v_\vartheta(\gamma_j; t, 0) = \bar{v}_{\vartheta, j}^0, \quad T(\gamma_j; t, 0) = \bar{T}_j^0, \quad w(\gamma_j; t, 0) = \bar{w}_j^0$$

и одно условие выхода

$$\rho(\gamma_j; t, \bar{s}_j^{-1}) T(\gamma_j; t, \bar{s}_j^{-1}) = \bar{p}_{*, j}^1.$$

Здесь  $\rho(\gamma_j; t, s)$  означает плотность  $\rho$  в момент времени  $t$  в точке  $\gamma_j(s)$ ,  $0 \leq s \leq \bar{s}_j^{-1}$ . Аналогичные обозначения использованы для  $T(\gamma_j; t, s)$ ,  $v_\vartheta(\gamma_j; t, s)$ ,  $w(\gamma_j; t, s)$ .

Исходя из принятой физической модели, условия в точке входа  $\gamma_j(0) = (\Lambda, z_j^-)$  и в точке выхода  $\gamma_j(\bar{s}_j^{-1}) = (\Lambda, z_j^+)$  должны соответствовать условиям вне тропического циклона, поэтому предположим знание плотности  $\rho_{ex}(z)$  и температуры  $T_{ex}(z)$  вне циклона, которые являются функциями от  $z$ , и запишем

$$\bar{\rho}_j^0 = \rho_{ex}(z_j^-), \quad \bar{T}_j^0 = T_{ex}(z_j^-), \quad \bar{p}_{*, j}^1 = \rho_{ex}(z_j^+) T_{ex}(z_j^+).$$

Что касается  $\bar{v}_{\vartheta, j}^0$ , то для независимости эволюции  $v_\vartheta$ , от выбора произвольного граничного значения на входе траектории, выберем достаточно малое значение  $\bar{v}_{\vartheta, j}^0$ . С другой стороны, так как  $w$  представляет собой нормированную скорость (см. (14)), то выберем для  $\bar{w}_j^0$  не зависящую от  $j$  постоянную. Таким образом, мы имеем следующие условия:

$$\rho(\gamma_j; t, 0) = \rho_{ex}(z_j^-), \quad (38)$$

$$w_\vartheta(\gamma_j; t, 0) = \bar{v}_\vartheta^0, \quad (39)$$

$$T(\gamma_j; t, 0) = T_{ex}(z_j^-), \quad (40)$$

$$w(\gamma_j; t, 0) = \bar{w}^0, \quad (41)$$

$$\rho(\gamma_j; t, \bar{s}_j^{-1}) T(\gamma_j; t, \bar{s}_j^{-1}) = \rho_{ex}(z_j^+) T_{ex}(z_j^+). \quad (42)$$

Что касается массы воды  $\Sigma$  в жидком и твердом агрегатных состояниях в уравнении (22), то отметим, что она значима только в той части  $\gamma_j^{[2]}$ , где воздух поднимается вверх. Поэтому, учитывая, что траектории  $\gamma_j^{[2]}$  наклонены и лежат одна над другой, используем следующее приближение:

$$\Sigma_j(t) = \frac{1}{[\tilde{\gamma}_j^+]_0} \int_0^t \varphi_j(t-s) \int_{[\tilde{\gamma}_j^+]} \left( \bar{\pi}_{vs}(T) \frac{d}{dz} \log \varrho - \frac{d}{dz} \bar{\pi}_{vs}(T) \right) w q_z dz ds + \beta_j \frac{[\tilde{\gamma}_j^+]}{[\gamma_{j-1}^+]} \Sigma_{j-1}(t), \quad (43)$$

где

$$[\tilde{\gamma}_j^+] = z_j^+ - z_j^- \quad (= \text{высота } \gamma_j^{[2]}),$$

а  $\varphi(\tau)$  представляет собой вероятность того, что капля (или льдинка) останется в воздухе после времени  $\tau$ , прошедшего с момента ее образования, и  $\beta_j$  – коэффициент, описывающий количество жидкой или твердой воды, переносимой от траектории  $\gamma_{j-1}$  к траектории  $\gamma_j$ .

Для численных расчетов был использован метод конечных разностей. Обозначим через  $\{t_k\}$  дискретные моменты времени, а через  $\{s_{j,i}\}$  – координаты на траектории  $\gamma_j$ , т.е.

$$0 = t_0 < t_1 < \dots < t_k < t_{k+1} < \dots,$$

$$0 = s_{j,0} < s_{j,1} < \dots < s_{j,i} < s_{j,i+1} < \dots < s_{j,N_j} = \bar{s}_j^{-1}.$$

Здесь положения  $s_j$  расположены в направлении течения воздуха так, что  $0 = s_{j,0}$  и  $s_{j,N_j} = \bar{s}_j^{-1}$  соответствуют положениям входа и выхода потока воздуха вдоль траектории  $\gamma_j$ . Здесь примем равномерный шаг по времени  $t_{k+1} - t_k = \delta_t$  с постоянной  $\delta_t$ , а для положений  $s_{j,i}$  нам удобно выбрать шаги, зависящие от  $(j, i)$ , т.е.  $s_{j,i+1} - s_{j,i} = \delta_s(j, i)$ . Это позволит лучше описать структуру траекторий  $\gamma_j$ , а зависимость пространственного шага сетки от  $(j, i)$  принципиально не повлияет на результаты численной схемы.

Численное решение построим с помощью явной схемы конечных разностей. Если имеется решение  $(\alpha, \varrho, v_\vartheta, T, w)$  для  $t_0, \dots, t_{k-1}$  на всех траекториях, то можно вычислить  $(\alpha, \varrho, v_\vartheta, T, w)$  для  $t_k$  следующим образом.

Во-первых, решим уравнение (20), написанное в следующем виде:

$$\frac{v_\vartheta(t_k, s_{j,i}) - v_\vartheta(t_{k-1}, s_{j,i})}{\delta_t \alpha(t_{k-1}) w(t_{k-1}, s_{j,i})} + \frac{v_\vartheta(t_k, s_{j,i}) - v_\vartheta(t_k, s_{j,i-1})}{\delta_s(j, i)} = F(v_\vartheta, \alpha, \varrho, w)$$

или

$$\begin{aligned} & (\delta_s(j, i) + \delta_t \alpha(t_{k-1}) w(t_{k-1}, s_{j,i})) v_\vartheta(t_k, s_{j,i}) = \delta_s(j, i) v_\vartheta(t_{k-1}, s_{j,i}) + \\ & + \delta_t \alpha(t_{k-1}) w(t_{k-1}, s_{j,i}) v_\vartheta(t_k, s_{j,i-1}) + \delta_s(j, i) \delta_t \alpha(t_{k-1}) w(t_{k-1}, s_{j,i}) F(v_\vartheta, \alpha, \varrho, w), \end{aligned} \quad (44)$$

и определим  $v_\vartheta(t_k, s_{j,i})$  для  $i = 0, \dots, N_j$  на каждой траектории  $\gamma_j$ . Действительно, условие  $v_\vartheta(t_k, s_{j,0}) = \bar{v}_\vartheta^0$  (см. (39)) и уравнения (44) для  $i = 1, \dots, N_j$  определяют  $v_\vartheta(t_k, s_{j,i})$  для  $i = 0, \dots, N_j$ .

Далее нам необходимо определить  $(\varrho(t_k, s_{j,i}), T(t_k, s_{j,i}), w(t_k, s_{j,i}))$  для  $i = 0, \dots, N_j$  и  $D(t_k) = D_j(t_k)$  на каждой траектории  $\gamma_j$ . Если заданы  $\alpha, v_\vartheta$  и  $\Sigma$  и если мы используем предварительное значение  $D^{(m)}$  для  $D(t_k) = D_j(t_k)$ , то уравнения (19), (21), (22) на каждой траектории  $\gamma_j$  образуют систему обыкновенных дифференциальных уравнений для неизвестных функций  $\varrho, T$  и  $w$ , которые при начальных условиях (38), (40), (41), можно явно решить с помощью метода конечных разностей. Поскольку это решение зависит от предварительного значения  $D^{(m)}$ , заданного для  $D(t_k) = D_j(t_k)$ , то значение произведения  $\varrho(\gamma_j; t_k, s_j^{-1}) T(\gamma_j; t_k, s_j^{-1}) = \varrho(t_k, s_{j,N_j}) T(t_k, s_{j,N_j})$ , которое мы обозначим  $\varrho^{(m)}(t_k, s_j^{-1}) T^{(m)}(t_k, s_j^{-1})$ , также зависит от  $D^{(m)}$ . Однако, поскольку между  $D^{(m)}$  и  $\varrho^{(m)}(t_k, s_j^{-1}) T^{(m)}(t_k, s_j^{-1})$  имеется сильная корреляция, физически обоснованная и подтвержденная численными вычис-



лениями, то можно построить последовательность  $\{D^{(m)}\}$ , которая быстро сходится к такому значению  $D^{(m_0)}$ , что  $\varrho^{(m_0)}(t_k, s_j^{-1})T^{(m_0)}(t_k, s_j^{-1})$  удовлетворяет условию (42) с нужной точностью.

Третий и последний этап – определить  $\alpha(t_k) = \alpha_j(t_k)$  из простого соотношения

$$\alpha_j(t_k) = \alpha_j(t_{k-1}) + D_j(t_k)\delta t. \quad (45)$$

Отметим здесь, что если заменить  $D(t)$  производной  $\frac{d}{dt}\alpha(t)$  (см. (16)), то из (14)–(15) мы получаем  $\varrho w D(t) = \varrho \frac{\partial v_\gamma}{\partial t}$ . Это позволяет интерпретировать член  $\varrho w D(t)$  в уравнении (22), ответственным за эффект, который следует из равенства давления внутри и снаружи в точке входа  $\gamma(0)$  и в точке выхода  $\gamma(\bar{s}_1)$  для линии тока воздуха с внутренним выделением скрытой теплоты конденсации водяного пара. Этот эффект аналогичен действию силы толкающей воздух вверх и, возможно, противодействующей трению водяных капель (или льдинок), которое препятствует такому подъему воздуха.

## 5. ВЫБОР ФИЗИЧЕСКИХ ПАРАМЕТРОВ МОДЕЛИ

Дадим пример численного решения предложенной модели эволюции тропического циклона, состоящей из уравнений (16), (19)–(22) и условий (38)–(42). Для численной реализации в соответствии с известными физическими законами (см., например, [14], [15]), необходимо прежде всего задать физические параметры:

$$g = 9.8 \text{ m/s}^2, \quad R_1 = \frac{R_0}{\mu_a}, \quad c_v = \frac{5}{2} \frac{R}{\mu_a}, \\ R_0 = 8.314 \text{ J/mol}, \quad \mu_a = 28.96 \text{ g/mol}$$

( $R_0$  и  $\mu_a$  – соответственно универсальная постоянная газов и молярная масса воздуха) и определить функцию плотности насыщенного водяного пара

$$\bar{\pi}_{v,s}(T) = \frac{\mu_h}{R_0 T} E_0 \times 10^{\frac{7.63(T-273.15)}{T-31.25}}, \quad E_0 = 6.107 \text{ mbar}, \quad \mu_h = 18.01 \text{ g/mol} \quad (46)$$

( $\mu_h$  – молярная масса воды), а также скрытую теплоту парообразования

$$L_{lr}(T) = (3244 - 2.72T) \times 10^3 \text{ (J/kg)}. \quad (47)$$

Так как разность плотности насыщенного пара на поверхности воды и на поверхности льда, как и скрытая теплота перехода воды из жидкого состояния в твердое, невелика, то в этой модели мы пренебрежем этими различиями и используем значения, заданные в (46), (47), которые соответствуют фазовому переходу  $\text{H}_2\text{O}$  из газообразного в жидкое состояние (и обратно).

В качестве параметра силы Кориолиса выберем фиксированное значение  $3 \times 10^{-5} \text{ c}^{-1}$ , которое соответствует его значению на широте  $12N$ .

Для того, чтобы определить область  $\Omega$  (или  $\Gamma_{r,z}$ ), заданную в (1) (или (2)), выберем  $\Lambda_1 = 200 \text{ км}$ ,  $\bar{z}_1 = 12 \text{ км}$ . Выберем также  $\Lambda_0(0) = 10 \text{ км}$  и тем самым определим функцию  $\Lambda_0(z)$  по формуле (27). Это соответствует модели тропического циклона средней мощности.

Приведем расчеты для 8 траекторий  $\gamma_j$ ,  $j = 1, \dots, 8$ . Разумеется, для детального расчета области  $\Gamma_{r,z}$  и построения семейства траекторий  $\{\gamma_j\}$  число траекторий 8 слишком мало, но для иллюстрации поведения воздушного потока вдоль расчетных траекторий, по-нашему мнению, этого числа будет достаточно, чтобы оценить основные этапы эволюции воздушного потока и всего тропического циклона.

Для того, чтобы выбрать траектории  $\gamma_j$ ,  $j = 1, \dots, 8$ , предположим, что воздух, который втекает в область циклона  $\Omega$ , имеет влажность 50%, а воздух, который вытекает из  $\Omega$ , имеет влажность 100%. Тогда определим распределение плотности  $\bar{\vartheta}_1(z)$  как решение уравнений (24)–(25) с

$$\bar{\vartheta}(z) = \begin{cases} 1/2 & \text{при } 0 \leq z \leq \bar{\zeta}_M, \\ 1 & \text{при } \bar{\zeta}_M < z \leq \bar{z}_1, \end{cases} \quad (48)$$

Таблица 1

$\gamma_j$	$z_j^-$ (km)	$z_j^+$ (km)
$\gamma_1$	$z_1^- = 0.23$	$z_1^+ = 11.71$
$\gamma_2$	$z_2^- = 0.70$	$z_2^+ = 10.77$
$\gamma_3$	$z_3^- = 1.20$	$z_3^+ = 9.01$
$\gamma_4$	$z_4^- = 1.72$	$z_4^+ = 7.91$
$\gamma_5$	$z_5^- = 2.28$	$z_5^+ = 6.94$
$\gamma_6$	$z_6^- = 2.86$	$z_6^+ = 6.05$
$\gamma_7$	$z_7^- = 3.48$	$z_7^+ = 5.25$
$\gamma_8$	$z_8^- = 4.25$	$z_8^+ = 4.50$

где  $\bar{\zeta}_M$  выбрана так, чтобы  $\{r = \Lambda_1, 0 < z < \bar{\zeta}_M\}$  была границей втекания ( $v_r < 0$ ), а  $\{r = \Lambda_1, \bar{\zeta}_M < z < \bar{z}_1\}$  – границей вытекания ( $v_r > 0$ ). Формальное определение  $\bar{\zeta}_M$  не так однозначно, но его численная аппроксимация может быть построена. Используя эту функцию  $\tilde{\varrho}_1(z)$ , положим

$$M_\varrho = \int_0^{\bar{z}_1} \tilde{\varrho}_1(z) dz, \tag{49}$$

и определим  $z_j^-$  и  $z_j^+$  (см. (23)) соотношениями

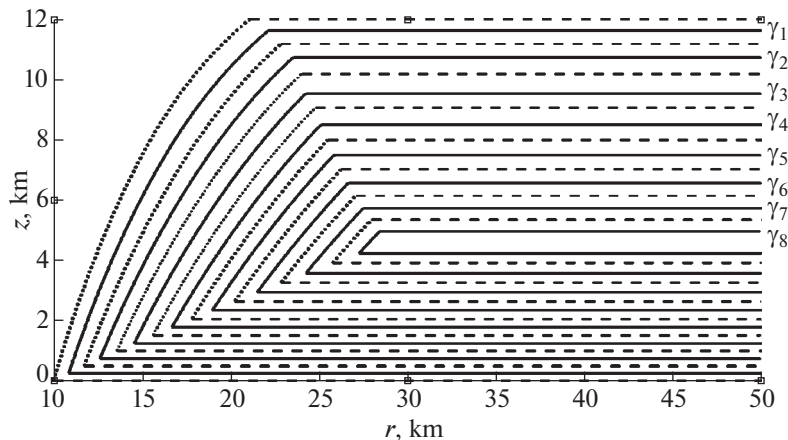
$$\int_0^{z_j^-} \tilde{\varrho}_1(z') dz' = \frac{4j-2}{61} M_\varrho, \quad j = 1, \dots, 8, \tag{50}$$

$$\int_0^{z_j^+} \tilde{\varrho}_1(z') dz' = \frac{4(16-j)+2}{61} M_\varrho, \quad j = 3, \dots, 8, \tag{51}$$

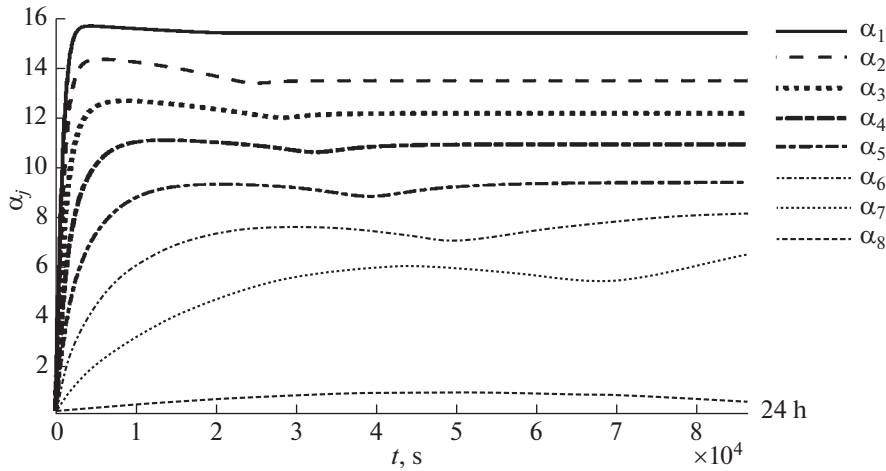
$$\int_0^{z_2^+} \tilde{\varrho}_1(z') dz' = \frac{57.5}{61} M_\varrho, \tag{52}$$

$$\int_0^{z_1^+} \tilde{\varrho}_1(z') dz' = \frac{60}{61} M_\varrho. \tag{53}$$

Определенные таким образом значения  $z_j^-$  и  $z_j^+$  приведены в табл. 1.



Фиг. 1. Семейство траекторий на плоскости  $(r, z)$  (до 50 км от центра).



Фиг. 2. Эволюция коэффициентов интенсивности  $\alpha_j(t)$  за 24 ч.

Траектории, построенные с помощью уравнения (36) по этим значениям  $z_j^-$  и  $z_j^+$ , приведены в фиг. 1.

В условиях (38), (40), (42) мы используем значения плотности  $\rho_{ex}(z)$  и температуры  $T_{ex}(z)$  вне зоны циклона. В качестве функций  $\rho_{ex}(z)$  и  $T_{ex}(z)$  возьмем решение системы уравнений (24), (25) с выбором

$$\vartheta(z) = \begin{cases} 1/3 & \text{при } 0 \leq z \leq \bar{z}_M, \\ 2/3 & \text{при } \bar{z}_M < z \leq \bar{z}_1. \end{cases} \tag{54}$$

Заметим, что условие (48) соответствует промежуточной влажности между условием (54) и полной влажностью  $\vartheta(z) \equiv 1$ , которая соответствует  $\bar{q}$ .

В качестве функции  $\varphi_j(\tau)$ , использованной в выражении  $\Sigma_j$  (см. (43)), возьмем функцию

$$\varphi_j(\tau) = \exp\left(-\frac{\pi\tau^2}{4b_j^2}\right) \tag{55}$$

с условием

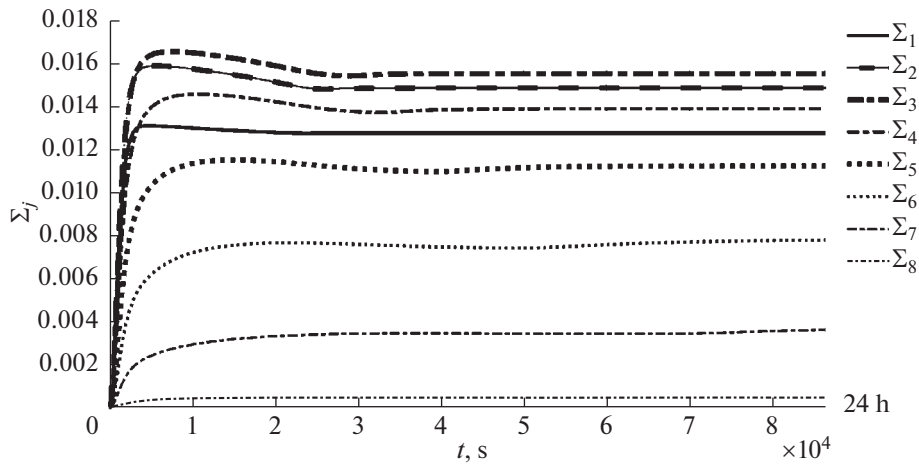
$$b_j = \begin{cases} 600 \text{ с (= 10 мин)} & \text{для } \gamma_j, \quad j = 1, 2, 3, 4, 5, \\ 480 \text{ с (= 8 мин)} & \text{для } \gamma_6, \\ 300 \text{ с (= 5 мин)} & \text{для } \gamma_7, \\ 120 \text{ с (= 2 мин)} & \text{для } \gamma_8. \end{cases} \tag{56}$$

Напомним, что

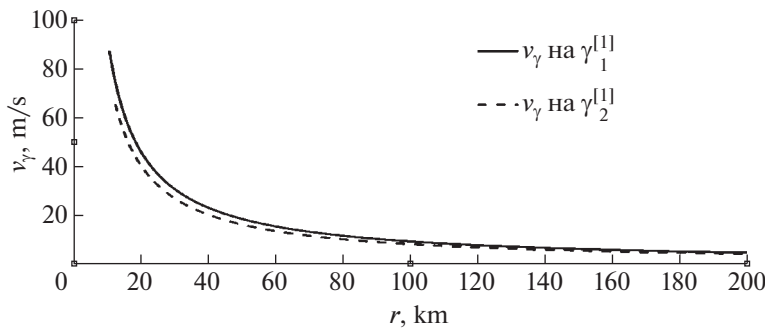
$$\int_0^\infty \varphi_j(\tau) d\tau = b_j,$$

т.е.  $b_j$  – средняя продолжительность времени, в котором капля (или льдинка) остается в воздухе после ее образования. С другой стороны, для коэффициентов  $\beta_j$ , использованных также в выражении  $\Sigma_j$  (см. (43)), мы выберем условие

$$\beta_j = \begin{cases} \frac{1}{2} & \text{для } \gamma_j, \quad j = 2, 3, 4, \\ \frac{2}{3} & \text{для } \gamma_j, \quad j = 5, 6, 7, \\ \frac{1}{3} & \text{для } \gamma_8. \end{cases} \tag{57}$$



Фиг. 3. Эволюция массы воды в жидком и твердом состояниях  $\Sigma_j(t)$  за 24 ч.



Фиг. 4. Составляющая  $v_\gamma$  в направлении  $\gamma$  скорости ветра в нижней части  $\gamma_1$  и  $\gamma_2$  через 24 ч.

Для функции  $\epsilon_1(z)$ , представляющей действие трения между воздухом и поверхностью океана, положим

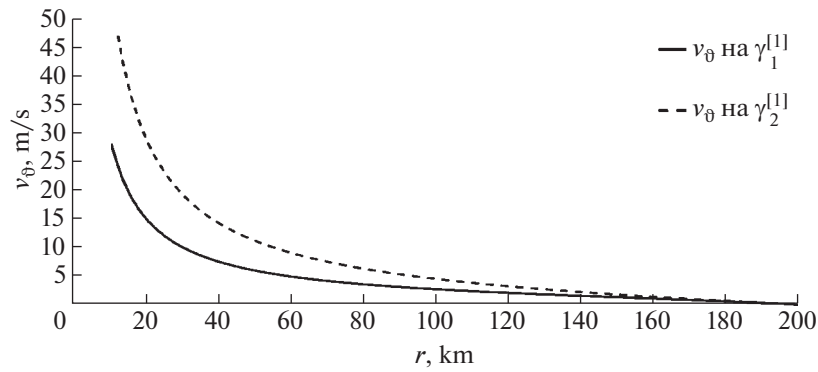
$$\epsilon_1(z) = \begin{cases} 8 \times 10^{-5} & \text{на } \gamma_1, \\ 0 & \text{на } \gamma_j, \quad j = 2, \dots, 8. \end{cases} \quad (58)$$

### 6. РЕЗУЛЬТАТ ЧИСЛЕННОГО РАСЧЕТА

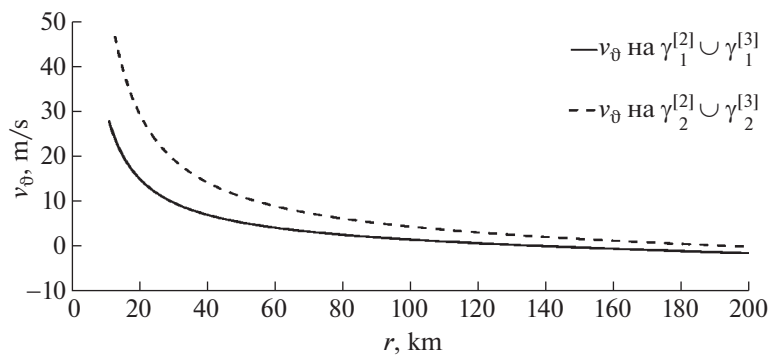
Приведем результат реализованного вычисления. На фиг. 2 показана эволюция коэффициентов интенсивности  $\alpha_j(t)$  на траекториях  $\gamma_j$ ,  $j = 1, \dots, 8$ . Расчет был проведен шагом по времени 50 с.

Развитию скорости потока воздуха вдоль траекторий  $\gamma_j$  сопутствует увеличение массы воды в жидком и твердом агрегатных состояниях  $\Sigma_j(t)$ , как показано на фиг. 3. Видно, что существует очень сильная корреляция между  $\alpha_j(t)$  и  $\Sigma_j(t)$ .

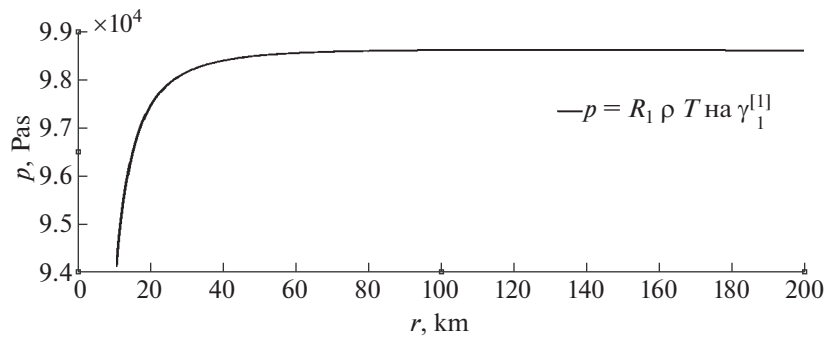
Кроме того, заметим, что в этой модели развитие циклона оказывается довольно быстрым: менее чем за 24 ч он достигает своей зрелой структуры. Покажем профиль составляющей  $v_\gamma$  скорости ветра вдоль траекторий в ее нижней части  $\gamma_1$  и  $\gamma_2$  через 24 ч (фиг. 4) и тангенциальной составляющей  $v_\theta$  скорости ветра в нижней части траекторий  $\gamma_1$  и  $\gamma_2$  через 24 ч (фиг. 5). Размерность скорости дана в единицах  $m/s$ . Заметим, что тангенциальная составляющая на части  $\gamma_2$  больше,



Фиг. 5. Тангенциальная составляющая  $v_\theta$  скорости ветра в нижней части  $\gamma_1$  и  $\gamma_2$  через 24 ч.

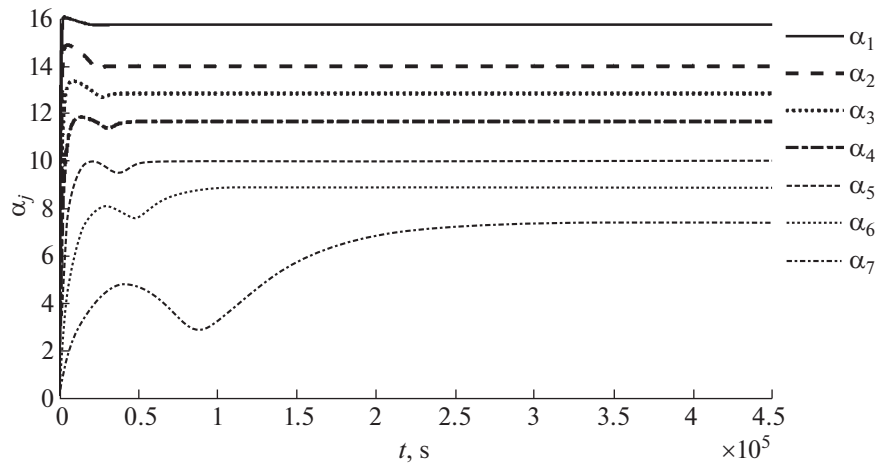


Фиг. 6. Тангенциальная составляющая  $v_\theta$  скорости ветра в верхней части  $\gamma_1$  и  $\gamma_2$  через 24 ч.

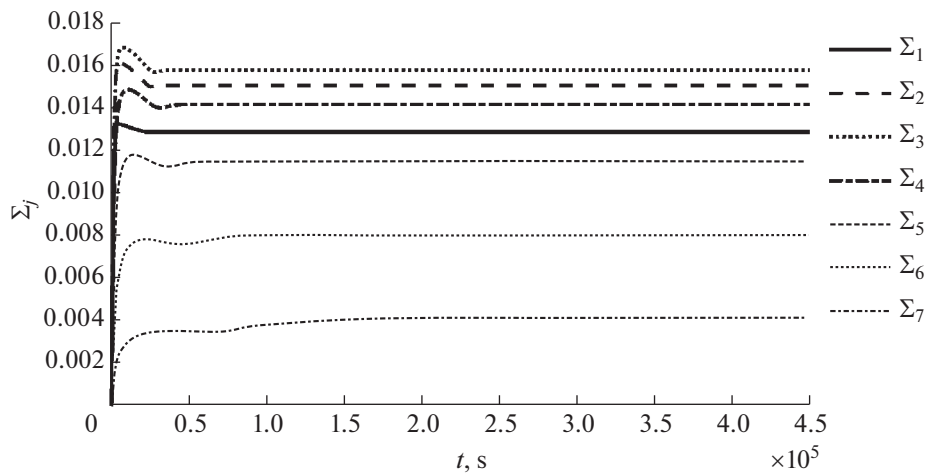


Фиг. 7. Давление  $p = R_1 \rho T$  в нижней части  $\gamma_1$  через 24 ч.

чем на  $\gamma_1$ . Это наводит на мысль о влиянии трения на поверхности океана, тормозящего течение воздуха вблизи границы океан–атмосфера. Фиг. 6 показывает, что в верхней части тангенциальная составляющая ветра на  $\gamma_2$  имеет то же направление, что и в нижней части, а тангенциальная составляющая ветра на  $\gamma_1$  в периферической части тайфуна имеет противоположное направление. Это различие объясняется, по нашему мнению, тем фактом, что на траектории  $\gamma_2$  влияние трения с поверхностью океана очень слабое и, таким образом, сила Кориолиса имеет такое же влияние в нижней части тайфуна, как и в его верхней части. С другой стороны, в нижней части  $\gamma_1$  трение с поверхностью океана тормозит также  $v_\theta$ , а в верхней части этого трения нет, и таким об-



Фиг. 8. Эволюция коэффициентов интенсивности  $\alpha_j(t)$  за 5 дней.



Фиг. 9. Эволюция массы воды в жидком или твердом состоянии  $\Sigma_j(t)$  за 5 дней.

разом в верхней части компонента  $v_\theta$  на  $\gamma_1$  благодаря силой Кориолиса выталкивается в противоположном направлении. Тот факт, что эффект трения с поверхностью океана менее очевиден в результате расчета для составляющей скорости в направлении траектории, можно интерпретировать как следствие использования при расчете фиксированных траекторий.

Таблица 2

$\gamma_j$	$\alpha_j$	$\Sigma_j$
$\gamma_1$	15.3434	0.0131
$\gamma_2$	13.4317	0.0153
$\gamma_3$	12.1234	0.0160
$\gamma_4$	10.8862	0.0143
$\gamma_5$	9.3652	0.0115
$\gamma_6$	8.0594	0.0080
$\gamma_7$	6.2224	0.0037
$\gamma_8$	0.4936	0.000457

Что касается давления  $p = R_1 \rho T$ , то его профиль на нижней части  $\gamma_1$  (230 м над уровнем моря) после расчета через 24 ч проведен в фиг. 7.

Фигуры 4, 5, 6, 7 показывают, что модель, предложенная в настоящей работе, разумным образом воспроизводит структуру тропического циклона.

Представим также эволюцию коэффициентов интенсивности  $\alpha_j(t)$  и массы воды в жидком или твердом состоянии  $\Sigma_j(t)$  за 5 дней. Как видно на фиг. 8 и фиг. 9, значения  $\alpha_j(t)$  и  $\Sigma_j(t)$  приблизительно стабилизируются. Отметим здесь, что вдоль траекторий с большой массой воды в жидком или твердом состоянии стабилизация оказывается весьма быстрой, а вдоль траекторий с малой  $\Sigma_j(t)$  такая стабилизация происходит медленно. На фиг. 8 и фиг. 9 не представлена эволюция  $\alpha_8(t)$  и  $\Sigma_8(t)$ , поскольку на траектории  $\gamma_8$  в некоторые моменты времени численные значения  $\alpha_8(t)$  и  $\Sigma_8(t)$  становятся отрицательными, что теряет физический смысл.

Для предложенной модели тропического циклона существует также стационарное решение. Значения коэффициентов интенсивности  $\alpha_j$  и массы воды  $\Sigma_j$  в жидком или твердом состоянии для стационарного решения показаны в следующей табл. 2. Видно, что, когда  $\Sigma_j$  велико, то возникает быстрая сходимость  $\alpha_j(t)$  и  $\Sigma_j(t)$  к соответствующим значениям стационарного решения. Отметим также, что масса воды в жидком или твердом состоянии на  $\gamma_8$  очень мала по сравнению с другими значениями  $\Sigma_j$ ,  $j = 1, \dots, 7$ . Это, по нашему мнению, вызывает относительную неустойчивость решения на  $\gamma_8$ .

## 7. ЗАКЛЮЧЕНИЕ И ПЕРСПЕКТИВЫ ИССЛЕДОВАНИЙ

В настоящей работе предложена система уравнений, которая в предположении осевой симметрии описывает движение воздуха вдоль семейства траекторий. Результат численного расчета выявил основные аспекты эволюции движения воздуха, вызванной конденсацией влаги с учетом скрытой теплоты парообразования, а также с учетом трения капель и льдинок, которое замедляет восходящий поток. Распределение скорости ветра и давления через 24 ч после начала расчета, полученное с помощью численного расчета, совпадает с общими характеристиками тропического циклона средней мощности. Мы интерпретируем полученную скорость роста модельного численного расчета, которая заметно превосходит данные наблюдений как следствие отличия нашей модельной постановки от реальности, в которой, помимо основного механизма тайфуна, участвуют также и другие факторы.

Использованная модель основана на описании фиксированных траекторий (на плоскости  $(r, z)$ ), что облегчало численное решение. Однако ясно, что траектории должны сами определяться самосогласованным движением воздуха. В частности, необходимо принять во внимание следующие важные механизмы при описании циклона.

1. Эффект роста тангенциальной составляющей скорости, порождающей центробежную силу и посредством этого выталкивающей вверх воздух в нижней части траекторий.

2. Расширение зоны циклона в процессе самой эволюции циклона.

3. Эффект турбулентного движения потока воздуха.

С учетом сказанного нашей следующей задачей будет являться улучшение модели с включением вышеупомянутых факторов. Следует также учитывать перемещение самого тропического циклона. Однако моделирование этого явления в такой постановке потребует разработки нового метода.

Авторы выражают благодарность проф. О. Диаз Родригез из Института Метеорологии Гаваны (Куба) за выяснение физических аспектов тропических циклонов и доктору Д. Ремаун Буреге из Университета науки и технологии Орана (Алжир) за помощь в численном расчете. Мы благодарны также С.Л. Скороходову из ВЦ ФИЦ ИУ РАН за помощь в написании текста.

## СПИСОК ЛИТЕРАТУРЫ

1. Хаин А.П. Математическое моделирование тропических циклонов. Ленинград: Гидрометеиздат, 1984.
2. Cotton W., Bryan G., van den Heever S. Storm and cloud dynamics (II ed.). Academic Press, 2011.
3. Katsuyuki V. Ooyama. Conceptual evolution of the tropical cyclone // J. Meteor. Soc. Japan. 1981. V. 60. P. 369–379.

4. *Emanuel K.A.* An air-sea interaction theory for tropical cyclones: Part I: Steady-state maintenance // *J. Atmos. Sci.* 1986. V. 43. P. 585–604.
5. *Rotunno R., Emanuel K.A.* An air-sea interaction theory for tropical cyclones: Part II: Evolutionary study using a non-hydrostatic axisymmetric numerical model // *J. Atmos. Sci.* 1987. V. 44. P. 542–561.
6. *Holland G.J.* The maximum potential intensity of tropical cyclones // *J. Atmos. Sci.* 1997. V. 54. P. 2519–2541.
7. *Camp J.P., Montgomery M.T.* Hurricane maximum intensity: past and present // *Monthly Weather Rev.* 2001. V. 129. P. 1704–1717.
8. *Vlasov V.I., Skorokhodov S.L., Fujita Yashima H.* Simulation of air flow in a typhoon lower layer // *Russ. J. Num. Anal. Math. Mod.* 2011. V. 26. P. 85–111.
9. *Montgomery M.T., Smith R.K.* Recent developments in the fluid dynamics of tropical cyclones // *Trop. Cycl. Res. Rep.* 2016. V. 1. P. 1–24.
10. *Ландау Л.Д., Лифшиц Е.М.* Гидродинамика (Теоретическая физика, т. 6) (3-е изд.). М.: Наука, 1986.
11. *Фуджита Яшима Х.* Моделирование внутренней структуры тропических циклонов: уравнение потока на траектории ветра. *Итоги Науки и Тех., Совр. Мат. Прил., Тематические обзоры.* 2017. Т. 137. С. 118–130.
12. *Ghomrani S., Marín Antuña J., Fujita Yashima H.* Un modelo de la subida del aire ocasionada por la condensación del vapor y su cálculo numérico // *Rev. Cuba Fís.* 2015. V. 32. P. 3–8.
13. *Retaoun Bourega D., Aouaouda M., Fujita Yashima H.* Oscillation de la pluie dans un modèle mathématique de l'orage // *Ann. Math. Afr.* 2018. V. 7. P. 19–35.
14. *Кикоин А.К., Кикоин И.К.* Молекулярная физика. М.: Наука, 1976.
15. *Матвеев Л.Т.* Основы общей метеорологии. Физика атмосферы. Гидрометеиздат, Ленинград-С. Петербург, 1965, 1984, 2000.